

3D model neutronového toku v reaktorech s šestihrannými kazetami ("Hex-Z")

Milan Hanuš,

Tomáš Berka, Marek Brandner, Roman Kužel, Aleš Matas

www.KMA.zcu.cz
SINCE 1954

Katedra matematiky
Fakulta aplikovaných věd
Západočeská univerzita v Plzni



FAV *Fakulta aplikovaných věd*

PANM 14

Dolní Maxov

1. - 6. 6. 2008

Přehled

- Motivace
- Matematický model
- Numerický model
- Algoritmus
- Výsledky a srovnání
- Závěr

Přehled

- **Motivace**
- Matematický model
- Numerický model
- Algoritmus
- Výsledky a srovnání
- Závěr

Význam neutronového toku

- Činnost jaderného reaktoru je určena rozložením neutronů (**neutronovým tokem**) v aktivní zóně (AZ)

Význam neutronového toku

- Činnost jaderného reaktoru je určena rozložením neutronů (**neutronovým tokem**) v aktivní zóně (AZ)
- Neutronový tok je dán konfigurací AZ

Význam neutronového toku

- Činnost jaderného reaktoru je určena rozložením neutronů (**neutronovým tokem**) v aktivní zóně (AZ)
- Neutronový tok je dán konfigurací AZ
- Složení AZ je nutné plánovat s ohledem na mnohá technická, ekonomická a bezpečnostní omezení

Význam neutronového toku

- Činnost jaderného reaktoru je určena rozložením neutronů (**neutronovým tokem**) v aktivní zóně (AZ)
 - Neutronový tok je dán konfigurací AZ
 - Složení AZ je nutné plánovat s ohledem na mnohá technická, ekonomická a bezpečnostní omezení
- ⇒ Velké množství návrhů, pro stanovení vhodnosti každého z nich je třeba vypočítat generovaný neutronový tok

Význam neutronového toku

- Činnost jaderného reaktoru je určena rozložením neutronů (**neutronovým tokem**) v aktivní zóně (AZ)
 - Neutronový tok je dán konfigurací AZ
 - Složení AZ je nutné plánovat s ohledem na mnohá technická, ekonomická a bezpečnostní omezení
- ⇒ Velké množství návrhů, pro stanovení vhodnosti každého z nich je třeba vypočítat generovaný neutronový tok ⇒ výpočet musí být **přesný** a **rychlý**

Přehled

- Motivace
- **Matematický model**
- Numerický model
- Algoritmus
- Výsledky a srovnání
- Závěr

Přehled aproximací transportní teorie

Rovnice transportu neutronů



Stacionární rozložení



Difúzní model



Energetické kontinuum \mapsto diskrétní energetické grupy

Integro-diferenciální rovnice popisující neznámou hustotu

neutronového toku:

$$\phi = \phi(\mathbf{r}, E, \Omega, t)$$

Přehled aproximací transportní teorie

Rovnice transportu neutronů



Stacionární rozložení



Difúzní model



Energetické kontinuum \mapsto diskrétní energetické grupy

Integrální rovnice popisující neznámou hustotu

neutronového toku:

$$\phi = \phi(\mathbf{r}, E, \Omega, \cancel{X})$$

Přehled aproximací transportní teorie

Rovnice transportu neutronů



Stacionární rozložení



Difúzní model



Energetické kontinuum \mapsto diskrétní energetické grupy

Integrální rovnice popisující neznámou hustotu

neutronového toku:

$$\phi = \phi(\mathbf{r}, E, \cancel{\Omega}, \cancel{\chi})$$

neutronového proudu:

$$\mathbf{j}(\mathbf{r}, E) = \int_{\Omega} \Omega \phi \, d\Omega$$

Přehled aproximací transportní teorie

Rovnice transportu neutronů



Stacionární rozložení



Difúzní model



Energetické kontinuum \mapsto diskrétní energetické grupy

Soustava integrálních rovnic popisujících neznámou hustotu

neutronového toku:

$$\phi^g = \phi^g(\mathbf{r}, \cancel{\mathbf{E}}, \cancel{\Omega}, \cancel{\lambda})$$

neutronového proudu:

$$\mathbf{j}^g(\mathbf{r}, \cancel{\mathbf{E}}) = \int_{\Omega} \Omega \phi^g d\Omega$$

Dvougrupová difúzní aproximace

Lokálně konzervativní tvar neutronové bilance ($\mathbf{r} = (x, y, z)$, $g = 1, 2$)

$$\nabla \cdot \mathbf{j}^g(\mathbf{r}) + \Sigma_r^g(\mathbf{r})\phi^g(\mathbf{r}) = \sum_{\substack{g'=1 \\ g' \neq g}}^2 \Sigma_s^{g' \rightarrow g}(\mathbf{r})\phi^{g'}(\mathbf{r}) + \chi^g \sum_{g'=1}^2 \nu \Sigma_f^{g'}(\mathbf{r})\phi^{g'}(\mathbf{r})$$

$$\mathbf{j}^g(\mathbf{r}) = -D^g(\mathbf{r})\nabla\phi^g(\mathbf{r}); \quad \gamma^g\phi^g(\mathbf{r}) + D^g(\mathbf{r})\nabla\phi^g(\mathbf{r}) \cdot \mathbf{n}(\mathbf{r}) = 0 \text{ pro } \mathbf{r} \in \partial\mathcal{C}$$

- Bilanční členy: **difúze**, absorpce, rozptyl, produkce díky štěpení
- Fickův zákon (konstitutivní vztah)

Dvougrupová difúzní aproximace

Lokálně konzervativní tvar neutronové bilance ($\mathbf{r} = (x, y, z)$, $g = 1, 2$)

$$\nabla \cdot \mathbf{j}^g(\mathbf{r}) + \Sigma_r^g(\mathbf{r})\phi^g(\mathbf{r}) = \sum_{\substack{g'=1 \\ g' \neq g}}^2 \Sigma_s^{g' \rightarrow g}(\mathbf{r})\phi^{g'}(\mathbf{r}) + \chi^g \sum_{g'=1}^2 \nu \Sigma_f^{g'}(\mathbf{r})\phi^{g'}(\mathbf{r})$$

$$\mathbf{j}^g(\mathbf{r}) = -D^g(\mathbf{r})\nabla\phi^g(\mathbf{r}); \quad \gamma^g\phi^g(\mathbf{r}) + D^g(\mathbf{r})\nabla\phi^g(\mathbf{r}) \cdot \mathbf{n}(\mathbf{r}) = 0 \text{ pro } \mathbf{r} \in \partial\mathcal{C}$$

- Bilanční členy: **difúze**, absorpce, rozptyl, produkce díky štěpení
- **Fickův zákon** (konstitutivní vztah)

Dvougrupová difúzní aproximace

Lokálně konzervativní tvar neutronové bilance ($\mathbf{r} = (x, y, z)$, $g = 1, 2$)

$$\nabla \cdot \mathbf{j}^g(\mathbf{r}) + \Sigma_r^g(\mathbf{r})\phi^g(\mathbf{r}) = \sum_{\substack{g'=1 \\ g' \neq g}}^2 \Sigma_s^{g' \rightarrow g}(\mathbf{r})\phi^{g'}(\mathbf{r}) + \chi^g \sum_{g'=1}^2 \nu \Sigma_f^{g'}(\mathbf{r})\phi^{g'}(\mathbf{r})$$

$$\mathbf{j}^g(\mathbf{r}) = -D^g(\mathbf{r})\nabla\phi^g(\mathbf{r}); \quad \gamma^g\phi^g(\mathbf{r}) + D^g(\mathbf{r})\nabla\phi^g(\mathbf{r}) \cdot \mathbf{n}(\mathbf{r}) = 0 \text{ pro } \mathbf{r} \in \partial\mathcal{C}$$

- Bilanční členy: difúze, **absorpce**, rozptyl, produkce díky štěpení
- Fickův zákon (konstitutivní vztah)

Dvougrupová difúzní aproximace

Lokálně konzervativní tvar neutronové bilance ($\mathbf{r} = (x, y, z)$, $g = 1, 2$)

$$\nabla \cdot \mathbf{j}^g(\mathbf{r}) + \Sigma_r^g(\mathbf{r})\phi^g(\mathbf{r}) = \sum_{\substack{g'=1 \\ g' \neq g}}^2 \Sigma_s^{g' \rightarrow g}(\mathbf{r})\phi^{g'}(\mathbf{r}) + \chi^g \sum_{g'=1}^2 \nu \Sigma_f^{g'}(\mathbf{r})\phi^{g'}(\mathbf{r})$$

$$\mathbf{j}^g(\mathbf{r}) = -D^g(\mathbf{r})\nabla\phi^g(\mathbf{r}); \quad \gamma^g\phi^g(\mathbf{r}) + D^g(\mathbf{r})\nabla\phi^g(\mathbf{r}) \cdot \mathbf{n}(\mathbf{r}) = 0 \text{ pro } \mathbf{r} \in \partial\mathcal{C}$$

- Bilanční členy: difúze, absorpce, rozptyl, produkce díky štěpení
- Fickův zákon (konstitutivní vztah)

Dvougrupová difúzní aproximace

Lokálně konzervativní tvar neutronové bilance ($\mathbf{r} = (x, y, z)$, $g = 1, 2$)

$$\nabla \cdot \mathbf{j}^g(\mathbf{r}) + \Sigma_r^g(\mathbf{r})\phi^g(\mathbf{r}) = \sum_{\substack{g'=1 \\ g' \neq g}}^2 \Sigma_s^{g' \rightarrow g}(\mathbf{r})\phi^{g'}(\mathbf{r}) + \chi^g \sum_{g'=1}^2 \nu \Sigma_f^{g'}(\mathbf{r})\phi^{g'}(\mathbf{r})$$

$$\mathbf{j}^g(\mathbf{r}) = -D^g(\mathbf{r})\nabla\phi^g(\mathbf{r}); \quad \gamma^g\phi^g(\mathbf{r}) + D^g(\mathbf{r})\nabla\phi^g(\mathbf{r}) \cdot \mathbf{n}(\mathbf{r}) = 0 \text{ pro } \mathbf{r} \in \partial\mathcal{C}$$

- Bilanční členy: difúze, absorpce, rozptyl, **produkce díky štěpení**
- Fickův zákon (konstitutivní vztah)

Dvougrupová difúzní aproximace

Lokálně konzervativní tvar neutronové bilance ($\mathbf{r} = (x, y, z)$, $g = 1, 2$)

$$\nabla \cdot \mathbf{j}^g(\mathbf{r}) + \Sigma_r^g(\mathbf{r})\phi^g(\mathbf{r}) = \sum_{\substack{g'=1 \\ g' \neq g}}^2 \Sigma_s^{g' \rightarrow g}(\mathbf{r})\phi^{g'}(\mathbf{r}) + \chi^g \sum_{g'=1}^2 \nu \Sigma_f^{g'}(\mathbf{r})\phi^{g'}(\mathbf{r})$$

$$\mathbf{j}^g(\mathbf{r}) = -D^g(\mathbf{r})\nabla\phi^g(\mathbf{r}); \quad \gamma^g\phi^g(\mathbf{r}) + D^g(\mathbf{r})\nabla\phi^g(\mathbf{r}) \cdot \mathbf{n}(\mathbf{r}) = 0 \text{ pro } \mathbf{r} \in \partial\mathcal{C}$$

- Bilanční členy: difúze, absorpce, rozptyl, produkce díky štěpení
- Fickův zákon (konstitutivní vztah)
- **Robinova okrajová podmínka:** pomocí **albedo koeficientu** γ popisuje, jak materiál v okolí AZ odráží uniklé neutrony nazpět

Dvougrupová difúzní aproximace

Lokálně konzervativní tvar neutronové bilance ($\mathbf{r} = (x, y, z)$, $g = 1, 2$)

$$\nabla \cdot \mathbf{j}^g(\mathbf{r}) + \Sigma_r^g(\mathbf{r})\phi^g(\mathbf{r}) = \sum_{\substack{g'=1 \\ g' \neq g}}^2 \Sigma_s^{g' \rightarrow g}(\mathbf{r})\phi^{g'}(\mathbf{r}) + \chi^g \sum_{g'=1}^2 \nu \Sigma_f^{g'}(\mathbf{r})\phi^{g'}(\mathbf{r})$$

$$\mathbf{j}^g(\mathbf{r}) = -D^g(\mathbf{r})\nabla\phi^g(\mathbf{r}); \quad \gamma^g\phi^g(\mathbf{r}) + D^g(\mathbf{r})\nabla\phi^g(\mathbf{r}) \cdot \mathbf{n}(\mathbf{r}) = 0 \text{ pro } \mathbf{r} \in \partial\mathcal{C}$$

- Bilanční členy: difúze, absorpce, rozptyl, produkce díky štěpení
- Fickův zákon (konstitutivní vztah)
- Robinova okrajová podmínka: pomocí **albedo koeficientu** γ popisuje, jak materiál v okolí AZ odráží unklé neutrony nazpět
- $D \geq d > 0$, $\nu\Sigma_f \geq \sigma_f > 0$, $\Sigma_r \geq 0$, $\Sigma_s \geq 0$: omezené, měřitelné, po částech hladké funkce; $\chi^1 = 1$, $\chi^2 = 0$

Dvougrupová difúzní aproximace

Lokálně konzervativní tvar neutronové bilance ($\mathbf{r} = (x, y, z)$, $g = 1, 2$)

$$\nabla \cdot \mathbf{j}^g(\mathbf{r}) + \Sigma_r^g(\mathbf{r})\phi^g(\mathbf{r}) = \sum_{\substack{g'=1 \\ g' \neq g}}^2 \Sigma_s^{g' \rightarrow g}(\mathbf{r})\phi^{g'}(\mathbf{r}) + \frac{\chi^g}{k_{\text{eff}}} \sum_{g'=1}^2 \nu \Sigma_f^{g'}(\mathbf{r})\phi^{g'}(\mathbf{r})$$

$$\mathbf{j}^g(\mathbf{r}) = -D^g(\mathbf{r})\nabla\phi^g(\mathbf{r}); \quad \gamma^g\phi^g(\mathbf{r}) + D^g(\mathbf{r})\nabla\phi^g(\mathbf{r}) \cdot \mathbf{n}(\mathbf{r}) = 0 \text{ pro } \mathbf{r} \in \partial\mathcal{C}$$

- Bilanční členy: difúze, absorpce, rozptyl, produkce díky štěpení
- Fickův zákon (konstitutivní vztah)
- Robinova okrajová podmínka: pomocí **albedo koeficientu** γ popisuje, jak materiál v okolí AZ odráží uniklé neutrony nazpět
- $D \geq d > 0$, $\nu\Sigma_f \geq \sigma_f > 0$, $\Sigma_r \geq 0$, $\Sigma_s \geq 0$: omezené, měřitelné, po částech hladké funkce; $\chi^1 = 1$, $\chi^2 = 0$
- k_{eff} ... **kritické číslo** reaktoru

Dvougrupová difúzní aproximace

Lokálně konzervativní tvar neutronové bilance ($\mathbf{r} = (x, y, z)$, $g = 1, 2$)

$$\nabla \cdot \mathbf{j}^g(\mathbf{r}) + \Sigma_r^g(\mathbf{r})\phi^g(\mathbf{r}) = \sum_{\substack{g'=1 \\ g' \neq g}}^2 \Sigma_s^{g' \rightarrow g}(\mathbf{r})\phi^{g'}(\mathbf{r}) + \frac{\chi^g}{k_{\text{eff}}} \sum_{g'=1}^2 \nu \Sigma_f^{g'}(\mathbf{r})\phi^{g'}(\mathbf{r})$$

$$\mathbf{j}^g(\mathbf{r}) = -D^g(\mathbf{r})\nabla\phi^g(\mathbf{r}); \quad \gamma^g\phi^g(\mathbf{r}) + D^g(\mathbf{r})\nabla\phi^g(\mathbf{r}) \cdot \mathbf{n}(\mathbf{r}) = 0 \text{ pro } \mathbf{r} \in \partial\mathcal{C}$$

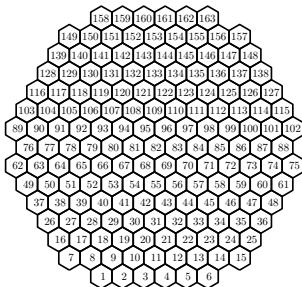
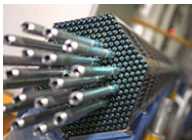
- Bilanční členy: difúze, absorpce, rozptyl, produkce díky štěpení
- Fickův zákon (konstitutivní vztah)
- Robinova okrajová podmínka: pomocí **albedo koeficientu** γ popisuje, jak materiál v okolí AZ odráží uniklé neutrony nazpět
- $D \geq d > 0$, $\nu\Sigma_f \geq \sigma_f > 0$, $\Sigma_r \geq 0$, $\Sigma_s \geq 0$: omezené, měřitelné, po částech hladké funkce; $\chi^1 = 1$, $\chi^2 = 0$
- k_{eff} ... **kritické číslo** reaktoru
 - největší vlastní číslo o.ú. – jediné, pro něž existuje netriviální řešení ϕ s vlastnostmi reálného neutronového toku

Přehled

- Motivace
- Matematický model
- **Numerický model**
- Algoritmus
- Výsledky a srovnání
- Závěr

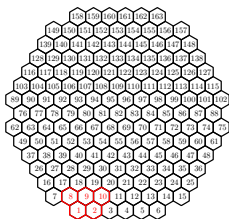
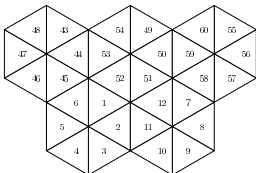
Metoda kontrolních objemů (MKO)

- Reaktory v ČR konstruovány pro palivové kazety s šestihranným průřezem



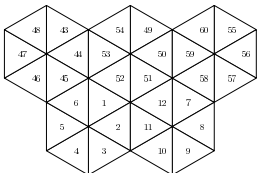
Metoda kontrolních objemů (MKO)

Standardní MKO

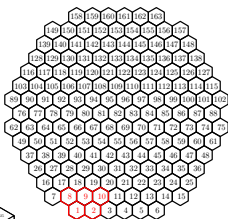
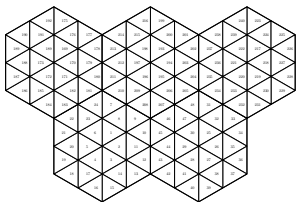


Metoda kontrolních objemů (MKO)

Standardní MKO

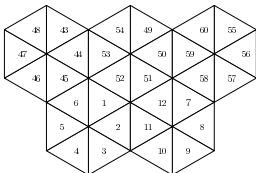


zpřesnění



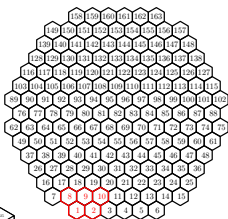
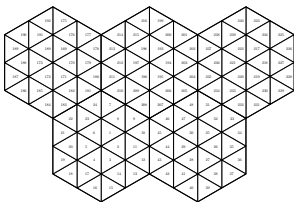
Metoda kontrolních objemů (MKO)

Standardní MKO



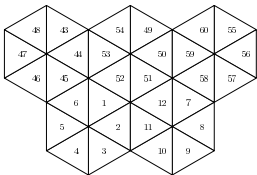
zjemněním
sítě
↓
zpomalení

zprěsnění



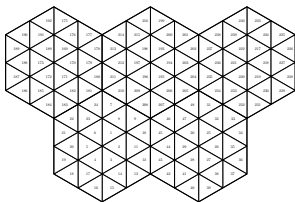
Metoda kontrolních objemů (MKO)

Standardní MKO

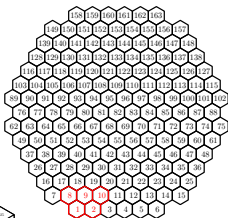
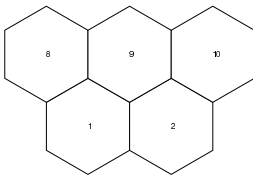


zjemněním
sítě
↓
zpomalení

zprůměrnění

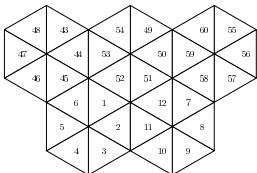


Nodální metoda



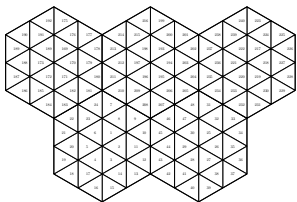
Metoda kontrolních objemů (MKO)

Standardní MKO

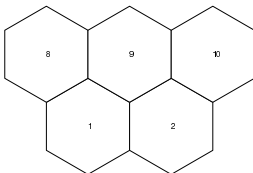


zjemněním
sítě
↓
zpomalení

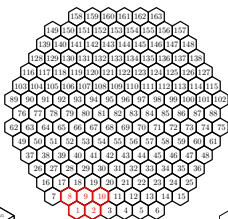
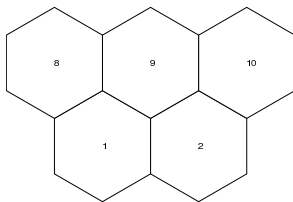
zprůsňení



Nodální metoda

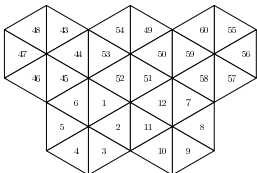


zprůsňení



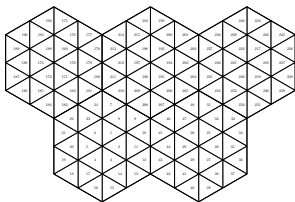
Metoda kontrolních objemů (MKO)

Standardní MKO

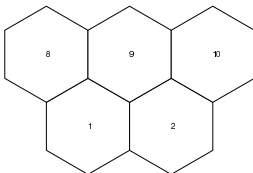


zjemněním
sítě
↓
zpomalení

zprůsňení

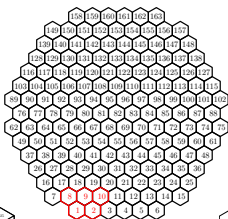
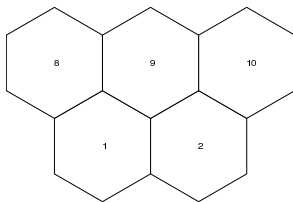


Nodální metoda



zprůsňení

stejná síť,
korekce pomocí
přesnější metody



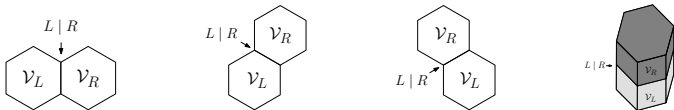
Nodální metoda

- 1 kontrolní objem (**nód**) = 1 palivová kazeta, konstantní koeficienty

Nodální metoda

- 1 kontrolní objem (nód) = 1 palivová kazeta, konstantní koeficienty
- Diskrétní proměnné – integrální průměry:
 - 1 neutronového toku v nódu: $\bar{\Phi}_i$
 - 2 neutronového proudu přes strany nódu: $\bar{J}_{i,\bullet}$
- CMFD (Coarse-Mesh, Finite-Difference) schéma
 - konzistentní a konzervativní **aproximace proudů metodou konečných diferencí**

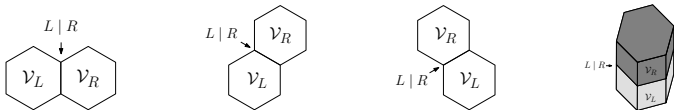
$$\bar{J}_{L|R} = -\frac{2D_L D_R}{h(D_L + D_R)} (\bar{\Phi}_R - \bar{\Phi}_L) + C_{D_{L|R}} (\bar{\Phi}_L + \bar{\Phi}_R)$$



Nodální metoda

- 1 kontrolní objem (nód) = 1 palivová kazeta, konstantní koeficienty
- Diskrétní proměnné – integrální průměry:
 - 1 neutronového toku v nódu: $\bar{\Phi}_i$
 - 2 neutronového proudu přes strany nódu: $\bar{J}_{i,\bullet}$
- CMFD (Coarse-Mesh, Finite-Difference) schéma
 - konzistentní a konzervativní aproximace proudů metodou konečných diferencí + oprava diskretizačních chyb kvůli hrubé síti

$$\bar{J}_{L|R} = -\frac{2D_L D_R}{h(D_L + D_R)}(\bar{\Phi}_R - \bar{\Phi}_L) + {}^C D_{L|R}(\bar{\Phi}_L + \bar{\Phi}_R)$$



Nodální metoda

- 1 kontrolní objem (nód) = 1 palivová kazeta, konstantní koeficienty
- Diskrétní proměnné – integrální průměry:
 - 1 neutronového toku v nódu: $\bar{\Phi}_i$
 - 2 neutronového proudu přes strany nódu: $\bar{J}_{i,\bullet}$
- **CMFD** (Coarse-Mesh, Finite-Difference) schéma
 - konzistentní a konzervativní aproximace proudů metodou konečných diferencí + oprava diskretizačních chyb kvůli hrubé síti

$$\bar{J}_{L|R} = -\frac{2D_L D_R}{h(D_L + D_R)}(\bar{\Phi}_R - \bar{\Phi}_L) + {}^c D_{L|R}(\bar{\Phi}_L + \bar{\Phi}_R)$$

$$(\mathbf{M} + {}^c \mathbf{D})\bar{\Phi} = k_{\text{eff}}^{-1} \mathbf{F}\bar{\Phi}$$

- **vnitřní iterace**

Nodální metoda

- 1 kontrolní objem (**nód**) = 1 palivová kazeta, konstantní koeficienty
- Diskrétní proměnné – integrální průměry:
 - 1 neutronového toku v nódu: $\bar{\Phi}_i$
 - 2 neutronového proudu přes strany nódu: $\bar{J}_{i,\bullet}$
- **CMFD** (Coarse-Mesh, Finite-Difference) schéma
 - konzistentní a konzervativní aproximace proudů metodou konečných diferencí + oprava diskretizačních chyb kvůli hrubé síti

$$\bar{J}_{L|R} = -\frac{2D_L D_R}{h(D_L + D_R)}(\bar{\Phi}_R - \bar{\Phi}_L) + {}^c D_{L|R}(\bar{\Phi}_L + \bar{\Phi}_R)$$

$$(\mathbf{M} + {}^c \mathbf{D})\bar{\Phi} = k_{\text{eff}}^{-1} \mathbf{F}\bar{\Phi}$$

- **vnitřní iterace**
- nutná znalost
rozložení zdrojů

Nodální metoda

- 1 kontrolní objem (nód) = 1 palivová kazeta, konstantní koeficienty
- Diskrétní proměnné – integrální průměry:
 - 1 neutronového toku v nódu: $\bar{\bar{\Phi}}_i$
 - 2 neutronového proudu přes strany nódu: $\bar{J}_{i,\bullet}$
- **CMFD** (Coarse-Mesh, Finite-Difference) schéma
 - konzistentní a konzervativní aproximace proudů metodou konečných diferencí + oprava diskretizačních chyb kvůli hrubé síti

$$\bar{J}_{L|R} = -\frac{2D_L D_R}{h(D_L + D_R)}(\bar{\bar{\Phi}}_R - \bar{\bar{\Phi}}_L) + {}^C D_{L|R}(\bar{\bar{\Phi}}_L + \bar{\bar{\Phi}}_R)$$

$$(\mathbf{M} + {}^C \mathbf{D})\bar{\bar{\Phi}} = k_{\text{eff}}^{-1} \mathbf{F}\bar{\bar{\Phi}}$$

- **vnitřní iterace**
- nutná znalost
rozložení zdrojů

 \Leftrightarrow

$$k_{\text{eff}}\bar{\bar{\Phi}} = (\mathbf{M} + {}^C \mathbf{D})^{-1} \mathbf{F}\bar{\bar{\Phi}}$$

- **vnější iterace**

Nodální metoda

- 1 kontrolní objem (**nód**) = 1 palivová kazeta, konstantní koeficienty
- Diskrétní proměnné – integrální průměry:
 - 1 neutronového toku v nódu: $\bar{\Phi}_i$
 - 2 neutronového proudu přes strany nódu: $\bar{J}_{i,\bullet}$
- **CMFD** (Coarse-Mesh, Finite-Difference) schéma
 - konzistentní a konzervativní aproximace proudů metodou konečných diferencí + oprava diskretizačních chyb kvůli hrubé síti

$$\bar{J}_{L|R} = -\frac{2D_L D_R}{h(D_L + D_R)}(\bar{\Phi}_R - \bar{\Phi}_L) + {}^C D_{L|R}(\bar{\Phi}_L + \bar{\Phi}_R)$$

$$(\mathbf{M} + {}^C \mathbf{D})\bar{\Phi} = k_{\text{eff}}^{-1} \mathbf{F}\bar{\Phi}$$

- **vnitřní iterace**
- nutná znalost
rozložení zdrojů

 \Leftrightarrow

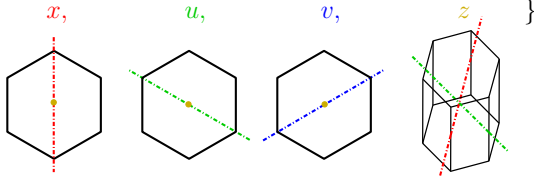
$$k_{\text{eff}}\bar{\Phi} = (\mathbf{M} + {}^C \mathbf{D})^{-1} \mathbf{F}\bar{\Phi}$$

do vnitřní iterace z vnější iterace

- **vnější iterace**
- mocinná metoda pro maticový problém vl. č.

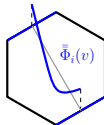
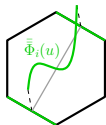
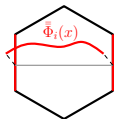
Určení opravných faktorů

- Integrace difúzní rovnice přes nodální řez kolmý na směr $\xi \in \{$



Určení opravných faktorů

- Integrace difúzní rovnice přes nodální řez kolmý na směr $\xi \in \{$ x , u , v , z $\}$



⇒ čtyři 1D difúzní rovnice

$$-D_i \frac{d^2 \bar{\phi}_i(\xi)}{d\xi^2} + \Sigma_{i,r} \bar{\phi}_i(\xi) = \bar{s}_i(\xi) - \bar{l}_i^t(\xi)$$

Určení opravných faktorů

- Integrace difúzní rovnice přes nodální řez kolmý na směr $\xi \in \{$

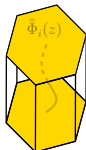
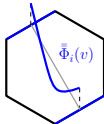
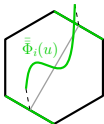
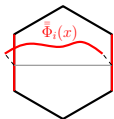
$x,$

$u,$

$v,$

z

 $\}$



⇒ čtyři 1D difúzní rovnice

$$-D_i \frac{d^2 \bar{\phi}_i(\xi)}{d\xi^2} + \Sigma_{i,r} \bar{\phi}_i(\xi) = \bar{s}_i(\xi) - \bar{l}_i^t(\xi)$$

pro příčný průměr toku

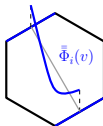
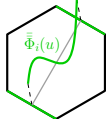
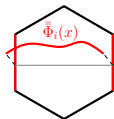
$$\bar{\phi}_i(z) := \frac{1}{B} \int_{-\frac{h}{2}}^{\frac{h}{2}} \int_{-y_i^t(x)}^{y_i^t(x)} \phi(x, y, z) dy dx$$

axiální



Určení opravných faktorů

- Integrace difúzní rovnice přes nodální řez kolmý na směr $\xi \in \{$



⇒ čtyři 1D difúzní rovnice

$$-D_i \frac{d^2 \bar{\phi}_i(\xi)}{d\xi^2} + \Sigma_{i,r} \bar{\phi}_i(\xi) = \bar{s}_i(\xi) - \bar{l}_i^t(\xi)$$

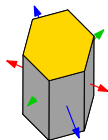
pro příčný průměr toku

$$\bar{\phi}_i(z) := \frac{1}{B} \int_{-\frac{h}{2}}^{\frac{h}{2}} \int_{-y_i^t(x)}^{y_i^t(x)} \phi(x, y, z) dy dx$$

axiální

$$\frac{d^2}{dx^2}$$

⇒ příčný únik neutronů



Určení opravných faktorů

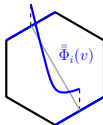
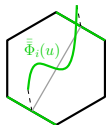
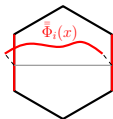
- Integrace difúzní rovnice přes nodální řez kolmý na směr $\xi \in \{$

$x,$

$u,$

$v,$

z $\}$



⇒ čtyři 1D difúzní rovnice

$$-D_i \frac{d^2 \bar{\phi}_i(\xi)}{d\xi^2} + \Sigma_{i,r} \bar{\phi}_i(\xi) = \bar{s}_i(\xi) - \bar{l}_i^t(\xi)$$

pro příčný průměr toku

$$\bar{\phi}_i(\xi) := \frac{1}{h_z} \int_{-h_z/2}^{h_z/2} \frac{1}{2y_i^t(\xi)} \int_{-y_i^t(\xi)}^{y_i^t(\xi)} \phi(x, y, z) dy dz$$

radiální



Určení opravných faktorů

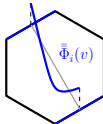
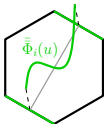
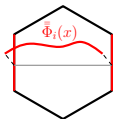
- Integrace difúzní rovnice přes nodální řez kolmý na směr $\xi \in \{$

$x,$

$u,$

$v,$

z $\}$



⇒ čtyři 1D difúzní rovnice

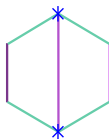
$$-D_i \frac{d^2 \bar{\phi}_i(\xi)}{d\xi^2} + \Sigma_{i,r} \bar{\phi}_i(\xi) = \bar{s}_i(\xi) - \bar{l}_i^t(\xi)$$

pro příčný průměr toku

$$\bar{\phi}_i(\xi) := \frac{1}{h_z} \int_{-\frac{h_z}{2}}^{\frac{h_z}{2}} \frac{1}{2y_i^t(\xi)} \int_{-y_i^t(\xi)}^{y_i^t(\xi)} \phi(x, y, z) dy dz$$

radiální

$\frac{d^2}{dx^2} \rightarrow$ příčný únik neutronů



Určení opravných faktorů

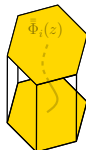
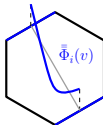
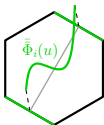
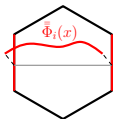
- Integrace difúzní rovnice přes nodální řez kolmý na směr $\xi \in \{$

$x,$

$u,$

$v,$

z $\}$



⇒ čtyři 1D difúzní rovnice

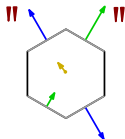
$$-D_i \frac{d^2 \bar{\phi}_i(\xi)}{d\xi^2} + \Sigma_{i,r} \bar{\phi}_i(\xi) = \bar{s}_i(\xi) - \bar{l}_i^t(\xi)$$

pro příčný průměr toku

$$\bar{\phi}_i(\xi) := \frac{1}{h_z} \int_{-\frac{h_z}{2}}^{\frac{h_z}{2}} \frac{1}{2y_i^t(\xi)} \int_{-y_i^t(\xi)}^{y_i^t(\xi)} \phi(x, y, z) dy dz$$

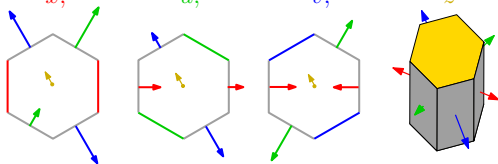
radiální

$\frac{d^2}{dx^2} \Rightarrow$ příčný únik neutronů ?



Určení opravných faktorů

- Integrace difúzní rovnice přes nodální řez kolmý na směr $\xi \in \{$



⇒ čtyři 1D difúzní rovnice

$$-D_i \frac{d^2 \bar{\phi}_i(\xi)}{d\xi^2} + \Sigma_{i,r} \bar{\phi}_i(\xi) = \bar{s}_i(\xi) - \bar{l}_i^t(\xi)$$

příčný únik neutronů

- svazuje rovnice pro různé směry ⇒ aproximace

Aproximace členů příčného úniku (PÚČ)

- Požadavek konzistence nodálních průměrů veličin v 1D a 3D



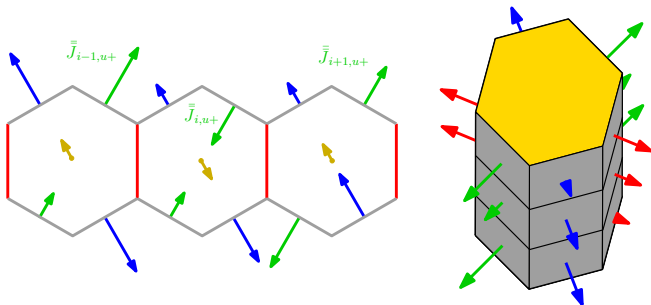
M. R. Wagner

Three-Dimensional Nodal Diffusion and Transport Theory Methods for Hexagonal-z Geometry.

Nucl. Sci. Eng., 103:377–391, May 1989.

Aproximace členů příčného úniku (PÚČ)

- Požadavek konzistence nodálních průměrů veličin v 1D a 3D
- 1D profil PÚČ aproximován parabolou zachovávající nodální průměr PÚČ v nódu samém a jeho dvou sousedech



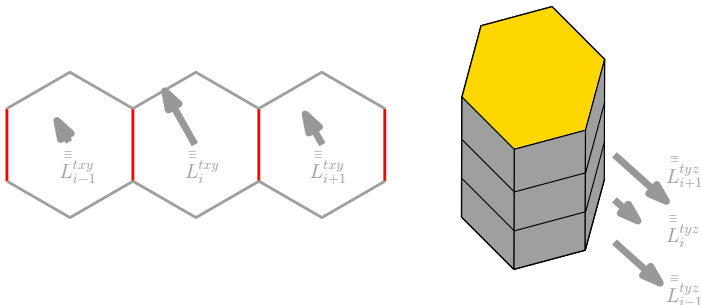
M. R. Wagner

Three-Dimensional Nodal Diffusion and Transport Theory Methods for Hexagonal-z Geometry.

Nucl. Sci. Eng., 103:377–391, May 1989.

Aproximace členů příčného úniku (PÚČ)

- Požadavek konzistence nodálních průměrů veličin v 1D a 3D
- 1D profil PÚČ aproximován parabolou zachovávající nodální průměr PÚČ v nódu samém a jeho dvou sousedech



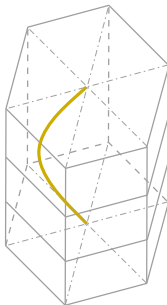
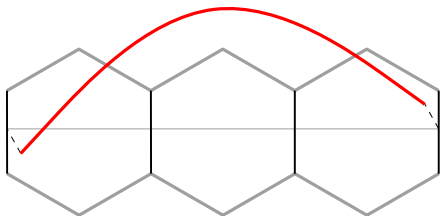
M. R. Wagner

Three-Dimensional Nodal Diffusion and Transport Theory Methods for Hexagonal-z Geometry.

Nucl. Sci. Eng., 103:377–391, May 1989.

Aproximace členů příčného úniku (PÚČ)

- Požadavek konzistence nodálních průměrů veličin v 1D a 3D
- 1D profil PÚČ aproximován parabolou zachovávající nodální průměr PÚČ v nódu samém a jeho dvou sousedech



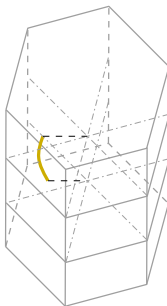
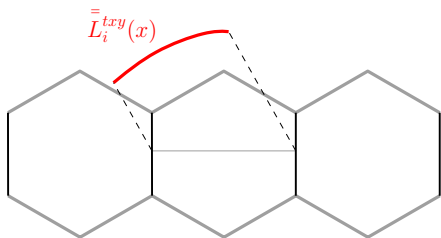
M. R. Wagner

Three-Dimensional Nodal Diffusion and Transport Theory Methods for Hexagonal-z Geometry.

Nucl. Sci. Eng., 103:377–391, May 1989.

Aproximace členů příčného úniku (PÚČ)

- Požadavek konzistence nodálních průměrů veličin v 1D a 3D
- 1D profil PÚČ aproximován parabolou zachovávající nodální průměr PÚČ v nódu samém a jeho dvou sousedech



M. R. Wagner


Three-Dimensional Nodal Diffusion and Transport Theory Methods for Hexagonal-z Geometry.

Nucl. Sci. Eng., 103:377–391, May 1989.

Řešení 1D rovnic (směr x)

1D difúzní rovnice pro daný nód a grupu

$$-D_i \frac{d^2}{dx^2} \bar{\phi}_i(x) + \Sigma_{i,r} \bar{\phi}_i(x) = \bar{s}_i(x) - \bar{l}_i^t(x)$$


$$\approx \bar{L}_i^{t\cdots}(\xi)$$

Řešení 1D rovnic (směr x)

1D difúzní rovnice pro daný nód a grupu

$$-D_i \frac{d^2}{dx^2} \bar{\phi}_i(x) + \Sigma_{i,r} \bar{\phi}_i(x) = \bar{s}_i(x) - \bar{l}_i^t(x)$$

\approx polynom 2. řádu

Řešení 1D rovnic (směr x)

1D difúzní rovnice pro daný nód a grupu

$$-D_i \frac{d^2}{dx^2} \bar{\phi}_i(x) + \Sigma_{i,r} \bar{\phi}_i(x) = \bar{s}_i(x) - \bar{l}_i^t(x)$$

$$\bar{\Phi}_i(x) \approx \bar{\phi}_i(x)$$

\approx polynom 2. řádu

1D profil toku (analytické řešení difúzní rovnice)

$$\bar{\Phi}_i(x) = C_1 \cosh\left(\sqrt{\Sigma_{i,r}/D_i}\right) + C_2 \sinh\left(\sqrt{\Sigma_{i,r}/D_i}\right) + \sum_{n=0}^2 a_n p_n(x)$$

Řešení 1D rovnic (směr x)

1D difúzní rovnice pro daný nód a grupu

$$-D_i \frac{d^2}{dx^2} \bar{\phi}_i(x) + \Sigma_{i,r} \bar{\phi}_i(x) = \bar{s}_i(x) - \bar{l}_i^t(x)$$

$$\bar{\Phi}_i(x) \approx \bar{\phi}_i(x)$$

\approx polynom 2. řádu

1D profil toku (analytické řešení difúzní rovnice)

$$\bar{\Phi}_i(x) = C_1 \cosh\left(\sqrt{\Sigma_{i,r}/D_i}\right) + C_2 \sinh\left(\sqrt{\Sigma_{i,r}/D_i}\right) + \sum_{n=0}^2 a_n p_n(x)$$

polynom řádu n

Řešení 1D rovnic (směr x)

1D difúzní rovnice pro daný nód a grupu

$$-D_i \frac{d^2}{dx^2} \bar{\phi}_i(x) + \Sigma_{i,r} \bar{\phi}_i(x) = \bar{s}_i(x) - \bar{l}_i^t(x)$$

$$\bar{\Phi}_i(x) \approx \bar{\phi}_i(x)$$

\approx polynom 2. řádu

1D profil toku (analytické řešení difúzní rovnice)

$$\bar{\Phi}_i(x) = C_1 \cosh\left(\sqrt{\Sigma_{i,r}/D_i}\right) + C_2 \sinh\left(\sqrt{\Sigma_{i,r}/D_i}\right) + \sum_{n=0}^2 a_n p_n(x)$$

polynom řádu n

- 5 neznámých koeficientů pro každý nód a grupu


Řešení 1D rovnic (směr x)

Metoda vážených reziduí

$$\int_{-h/2}^{h/2} p_0(x) \left(-D_i \frac{d^2}{dx^2} \bar{\Phi}_i(x) + \Sigma_{i,r} \bar{\Phi}_i(x) \right) dx = \int_{-h/2}^{h/2} p_0(x) \left(\bar{S}_i(x) - \bar{I}_i^t(x) \right) dx$$

1D profil toku (analytické řešení difúzní rovnice)

$$\bar{\Phi}_i(x) = C_1 \cosh\left(\sqrt{\Sigma_{i,r}/D_i}\right) + C_2 \sinh\left(\sqrt{\Sigma_{i,r}/D_i}\right) + \sum_{n=0}^2 a_n p_n(x)$$

polynom řádu n 

- 5 neznámých koeficientů pro každý nód a grupu
 - metoda vážených reziduí


Řešení 1D rovnic (směr x)

Metoda vážených reziduí

$$\int_{-h/2}^{h/2} p_1(x) \left(-D_i \frac{d^2}{dx^2} \bar{\Phi}_i(x) + \Sigma_{i,r} \bar{\Phi}_i(x) \right) dx = \int_{-h/2}^{h/2} p_1(x) \left(\bar{S}_i(x) - \bar{I}_i^t(x) \right) dx$$

1D profil toku (analytické řešení difúzní rovnice)

$$\bar{\Phi}_i(x) = C_1 \cosh\left(\sqrt{\Sigma_{i,r}/D_i}\right) + C_2 \sinh\left(\sqrt{\Sigma_{i,r}/D_i}\right) + \sum_{n=0}^2 a_n p_n(x)$$

polynom řádu n 

- 5 neznámých koeficientů pro každý nód a grupu
 - metoda vážených reziduí

Řešení 1D rovnic (směr x)

Metoda vážených reziduí

$$\int_{-h/2}^{h/2} p_2(x) \left(-D_i \frac{d^2}{dx^2} \bar{\Phi}_i(x) + \Sigma_{i,r} \bar{\Phi}_i(x) \right) dx = \int_{-h/2}^{h/2} p_2(x) \left(\bar{S}_i(x) - \bar{I}_i^t(x) \right) dx$$

1D profil toku (analytické řešení difúzní rovnice)

$$\bar{\Phi}_i(x) = C_1 \cosh\left(\sqrt{\Sigma_{i,r}/D_i}\right) + C_2 \sinh\left(\sqrt{\Sigma_{i,r}/D_i}\right) + \sum_{n=0}^2 a_n p_n(x)$$

polynom řádu n

- 5 neznámých koeficientů pro každý nód a grupu
 - metoda vážených reziduí

Řešení 1D rovnic (směr x)

Spojitosť proudů a toků

$$\bar{J}_{L|R} = \bar{J}_{R|L}, \quad \bar{\Phi}_L\left(\frac{h}{2}\right) = \bar{\Phi}_R\left(-\frac{h}{2}\right)$$

1D profil toku (analytické řešení difúzní rovnice)

$$\bar{\Phi}_i(x) = C_1 \cosh\left(\sqrt{\Sigma_{i,r}/D_i}\right) + C_2 \sinh\left(\sqrt{\Sigma_{i,r}/D_i}\right) + \sum_{n=0}^2 a_n p_n(x)$$

polynom řádu n

- 5 neznámých koeficientů pro každý nód a grupu
 - metoda vážených reziduí
 - spojitost toků
 - spojitost proudů
- } na rozhraní dvou nódů

Řešení 1D rovnic (směr x)

Zachování integrálního průměru toku

$$\int_{-h/2}^{h/2} 2y_i^t(x) \bar{\Phi}_i(x) dx = \bar{\Phi}$$

1D profil toku (analytické řešení difúzní rovnice)

$$\bar{\Phi}_i(x) = C_1 \cosh\left(\sqrt{\Sigma_{i,r}/D_i}\right) + C_2 \sinh\left(\sqrt{\Sigma_{i,r}/D_i}\right) + \sum_{n=0}^2 a_n p_n(x)$$

polynom řádu n

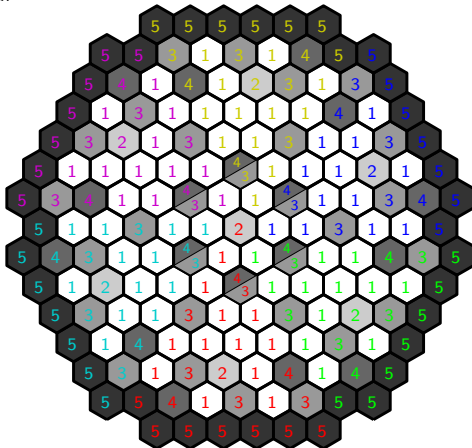
- 5 neznámých koeficientů pro každý nód a grupu
 - metoda vážených reziduí
 - spojitost toků
 - spojitost proudů
 - toky a proudy na rozhraní svázány Fickovým vztahem
 - ⇒ dodatečná podmínka zachování průměrného toku

Přehled

- Motivace
- Matematický model
- Numerický model
- **Algoritmus**
- Výsledky a srovnání
- Závěr

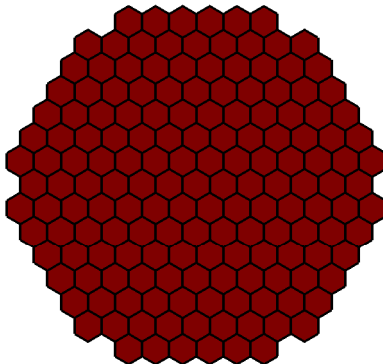
Modelová úloha

- Příčná konfigurace AZ: 5 typů kazet v 60° symetrii, rozteč 23.6 cm, $\gamma_{rad} = 0.125$
- Podélná konfigurace AZ: výška 200 cm, 10 řezů, 6 řídicích tyčí zcela vytažených, $\gamma_{ax} = 0.15$



CMFD výpočet (v jednom řezu AZ)

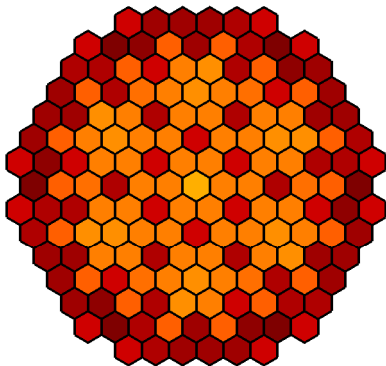
$$k_{\text{eff}}^{(0)}, \bar{\Phi}_i^{(0)}$$



$$k_{\text{eff}}^{(0)} = 1.000000$$

CMFD výpočet (v jednom řezu AZ)

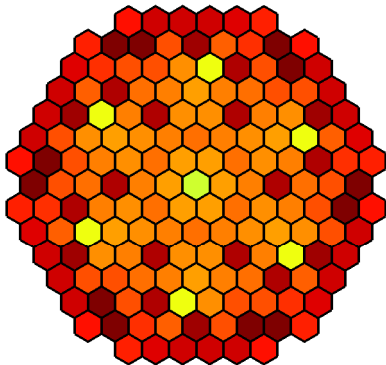
$$k_{\text{eff}}^{(0)}, \bar{\Phi}_i^{(0)} \rightarrow \mathbf{M}\bar{\Phi} = k_{\text{eff}}^{-1}\mathbf{F}\bar{\Phi} \rightarrow k_{\text{eff}}^{(1)}, \bar{\Phi}_i^{(1)}$$



$$k_{\text{eff}}^{(1)} = 1.014235$$

CMFD výpočet (v jednom řezu AZ)

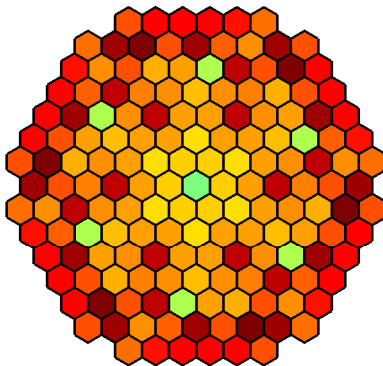
$$k_{\text{eff}}^{(0)}, \bar{\Phi}_i^{(0)} \rightarrow \mathbf{M}\bar{\Phi} = k_{\text{eff}}^{-1}\mathbf{F}\bar{\Phi} \rightarrow k_{\text{eff}}^{(2)}, \bar{\Phi}_i^{(2)}$$



$$k_{\text{eff}}^{(2)} = 1.020357$$

CMFD výpočet (v jednom řezu AZ)

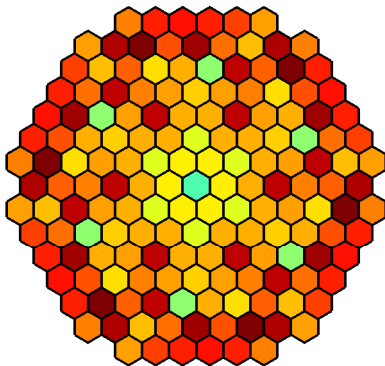
$$k_{\text{eff}}^{(0)}, \bar{\Phi}_i^{(0)} \rightarrow \mathbf{M}\bar{\Phi} = k_{\text{eff}}^{-1}\mathbf{F}\bar{\Phi} \rightarrow k_{\text{eff}}^{(3)}, \bar{\Phi}_i^{(3)}$$



$$k_{\text{eff}}^{(3)} = 1.022752$$

CMFD výpočet (v jednom řezu AZ)

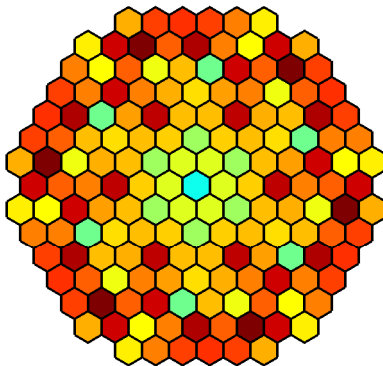
$$k_{\text{eff}}^{(0)}, \bar{\Phi}_i^{(0)} \rightarrow \mathbf{M}\bar{\Phi} = k_{\text{eff}}^{-1}\mathbf{F}\bar{\Phi} \rightarrow k_{\text{eff}}^{(4)}, \bar{\Phi}_i^{(4)}$$



$$k_{\text{eff}}^{(4)} = 1.023843$$

CMFD výpočet (v jednom řezu AZ)

$$k_{\text{eff}}^{(0)}, \bar{\Phi}_i^{(0)} \rightarrow \mathbf{M}\bar{\Phi} = k_{\text{eff}}^{-1}\mathbf{F}\bar{\Phi} \rightarrow k_{\text{eff}}^{(5)}, \bar{\Phi}_i^{(5)}$$

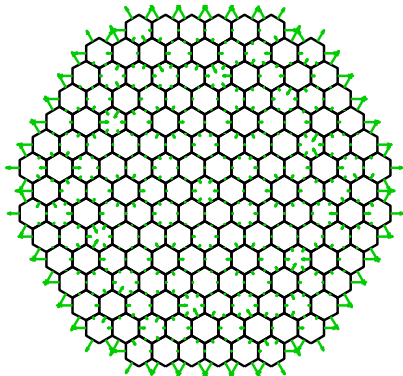


$$k_{\text{eff}}^{(5)} = 1.024439$$

CMFD výpočet (v jednom řezu AZ)

$$k_{\text{eff}}^{(0)}, \bar{\Phi}_i^{(0)} \rightarrow \mathbf{M}\bar{\Phi} = k_{\text{eff}}^{-1}\mathbf{F}\bar{\Phi} \rightarrow k_{\text{eff}}^{(5)}, \bar{\Phi}_i^{(5)}$$

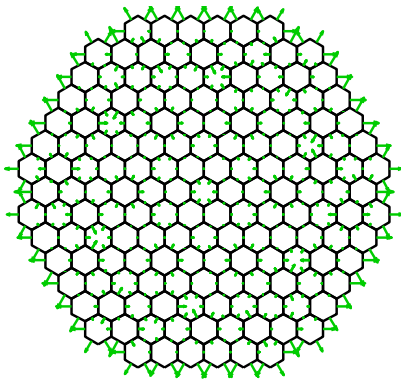
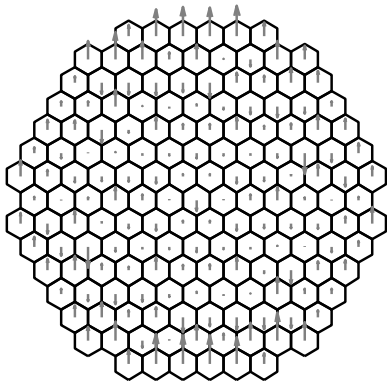
$$\bar{J}_{L|R} = -\frac{2D_L D_R}{h(D_L + D_R)} (\bar{\Phi}_R - \bar{\Phi}_L) + {}^C D_{L|R} (\bar{\Phi}_L + \bar{\Phi}_R)$$



CMFD výpočet (v jednom řezu AZ)

$$k_{\text{eff}}^{(0)}, \bar{\Phi}_i^{(0)} \rightarrow \mathbf{M}\bar{\Phi} = k_{\text{eff}}^{-1}\mathbf{F}\bar{\Phi} \rightarrow k_{\text{eff}}^{(5)}, \bar{\Phi}_i^{(5)}$$

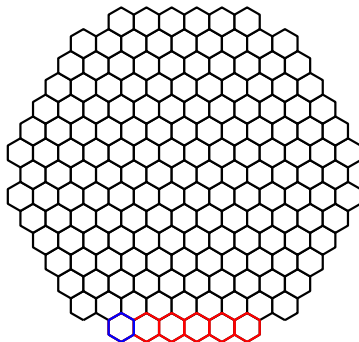
$$\bar{L}_i^{\text{txy}} \leftarrow \bar{J}_{L|R} = -\frac{2D_L D_R}{h(D_L + D_R)} (\bar{\Phi}_R - \bar{\Phi}_L) + {}^C D_{L|R} (\bar{\Phi}_L + \bar{\Phi}_R)$$



Výpočet opravných faktorů

- 1D úloha pro \mathcal{V}_1

$$\xrightarrow{\text{in}} k_{\text{eff}}, \bar{\Phi}_1, \bar{L}_{0,1,2}^{\text{txy}}, \gamma_{\text{rad}}$$



Xue Dong Fu and Nam Zin Cho

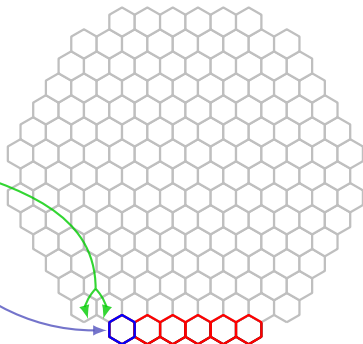
Nonlinear Analytic and Semi-Analytic Nodal Methods for Multigroup Neutron Diffusion Calculations.

J. Nucl. Sci. Technol. (Tokyo, Jpn.), 39(10):1015–1025, October 2002.

Výpočet opravných faktorů

- 1D úloha pro \mathcal{V}_1

$$\xrightarrow{\text{in}} k_{\text{eff}}, \bar{\Phi}_1, \bar{L}_{0,1,2}^{\text{txy}}, \gamma_{\text{rad}}$$



Xue Dong Fu and Nam Zin Cho

Nonlinear Analytic and Semi-Analytic Nodal Methods for Multigroup Neutron Diffusion Calculations.

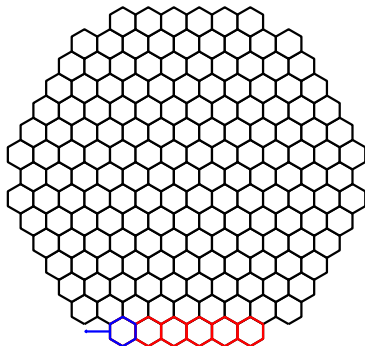
J. Nucl. Sci. Technol. (Tokyo, Jpn.), 39(10):1015–1025, October 2002.

Výpočet opravných faktorů

- 1D úloha pro \mathcal{V}_1

$$\text{in} \rightarrow k_{\text{eff}}, \bar{\Phi}_1, \bar{L}_{0,1,2}^{\text{txy}}, \gamma_{\text{rad}}$$

$$\text{out} \rightarrow \bar{J}_{0|1}$$



Xue Dong Fu and Nam Zin Cho

Nonlinear Analytic and Semi-Analytic Nodal Methods for Multigroup Neutron Diffusion Calculations.

J. Nucl. Sci. Technol. (Tokyo, Jpn.), 39(10):1015–1025, October 2002.

Výpočet opravných faktorů

- 1D úloha pro \mathcal{V}_1

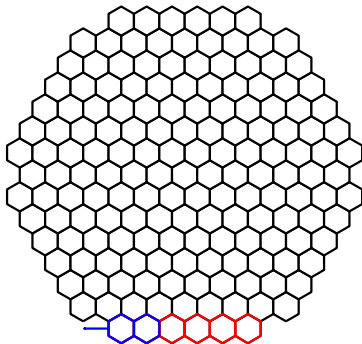
$$\begin{array}{l} \text{in} \\ \text{---} \end{array} \rightarrow k_{\text{eff}}, \bar{\Phi}_1, \bar{L}_{0,1,2}^{\text{txy}}, \gamma_{\text{rad}}$$

$$\begin{array}{l} \text{out} \\ \text{---} \end{array} \rightarrow \bar{J}_{0|1}$$

- 1D úloha pro \mathcal{V}_2

$$\begin{array}{l} \text{in} \\ \text{---} \end{array} \rightarrow k_{\text{eff}}, \bar{\Phi}_2, \bar{L}_{1,2,3}^{\text{txy}},$$

výsledky z \mathcal{V}_1



Xue Dong Fu and Nam Zin Cho

Nonlinear Analytic and Semi-Analytic Nodal Methods for Multigroup Neutron Diffusion Calculations.

J. Nucl. Sci. Technol. (Tokyo, Jpn.), 39(10):1015–1025, October 2002.

Výpočet opravných faktorů

- 1D úloha pro \mathcal{V}_1

$$\begin{array}{l} \text{in} \\ \text{---} \rightarrow \end{array} k_{\text{eff}}, \bar{\Phi}_1, \bar{L}_{0,1,2}^{\text{txy}}, \gamma_{\text{rad}}$$

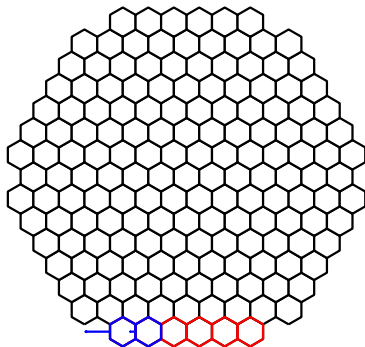
$$\begin{array}{l} \text{out} \\ \text{---} \rightarrow \end{array} \bar{J}_{0|1}$$

- 1D úloha pro \mathcal{V}_2

$$\begin{array}{l} \text{in} \\ \text{---} \rightarrow \end{array} k_{\text{eff}}, \bar{\Phi}_2, \bar{L}_{1,2,3}^{\text{txy}},$$

výsledky z \mathcal{V}_1

$$\begin{array}{l} \text{out} \\ \text{---} \rightarrow \end{array} \bar{J}_{1|2}$$



Xue Dong Fu and Nam Zin Cho

Nonlinear Analytic and Semi-Analytic Nodal Methods for Multigroup Neutron Diffusion Calculations.

J. Nucl. Sci. Technol. (Tokyo, Jpn.), 39(10):1015–1025, October 2002.

Výpočet opravných faktorů

- 1D úloha pro \mathcal{V}_1

$$\begin{array}{l} \text{in} \\ \text{---} \rightarrow \end{array} k_{\text{eff}}, \bar{\Phi}_1, \bar{L}_{0,1,2}^{\text{txy}}, \gamma_{\text{rad}}$$

$$\begin{array}{l} \text{out} \\ \text{---} \rightarrow \end{array} \bar{J}_{0|1}$$

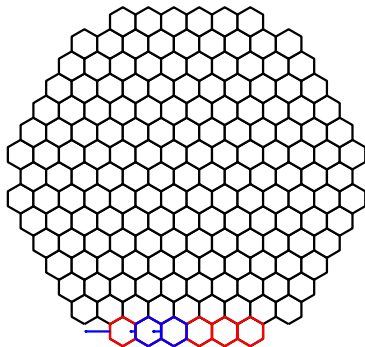
- 1D úloha pro \mathcal{V}_2

$$\begin{array}{l} \text{in} \\ \text{---} \rightarrow \end{array} k_{\text{eff}}, \bar{\Phi}_2, \bar{L}_{1,2,3}^{\text{txy}},$$

výsledky z \mathcal{V}_1

$$\begin{array}{l} \text{out} \\ \text{---} \rightarrow \end{array} \bar{J}_{1|2}$$

- $\bar{J}_{2|3}$



Xue Dong Fu and Nam Zin Cho

Nonlinear Analytic and Semi-Analytic Nodal Methods for Multigroup Neutron Diffusion Calculations.

J. Nucl. Sci. Technol. (Tokyo, Jpn.), 39(10):1015–1025, October 2002.

Výpočet opravných faktorů

- 1D úloha pro \mathcal{V}_1

$$\begin{array}{l} \text{in} \\ \text{---} \rightarrow \end{array} k_{\text{eff}}, \bar{\Phi}_1, \bar{L}_{0,1,2}^{\text{txy}}, \gamma_{\text{rad}}$$

$$\begin{array}{l} \text{out} \\ \text{---} \rightarrow \end{array} \bar{J}_{0|1}$$

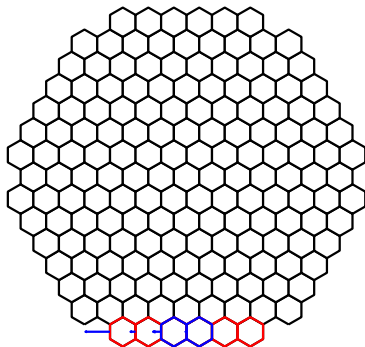
- 1D úloha pro \mathcal{V}_2

$$\begin{array}{l} \text{in} \\ \text{---} \rightarrow \end{array} k_{\text{eff}}, \bar{\Phi}_2, \bar{L}_{1,2,3}^{\text{txy}},$$

výsledky z \mathcal{V}_1

$$\begin{array}{l} \text{out} \\ \text{---} \rightarrow \end{array} \bar{J}_{1|2}$$

- $\bar{J}_{2|3}$, $\bar{J}_{3|4}$



Xue Dong Fu and Nam Zin Cho

Nonlinear Analytic and Semi-Analytic Nodal Methods for Multigroup Neutron Diffusion Calculations.

J. Nucl. Sci. Technol. (Tokyo, Jpn.), 39(10):1015–1025, October 2002.

Výpočet opravných faktorů

- 1D úloha pro \mathcal{V}_1

$$\begin{array}{l} \text{in} \\ \text{---} \rightarrow \end{array} k_{\text{eff}}, \bar{\Phi}_1, \bar{L}_{0,1,2}^{\text{txy}}, \gamma_{\text{rad}}$$

$$\begin{array}{l} \text{out} \\ \text{---} \rightarrow \end{array} \bar{J}_{0|1}$$

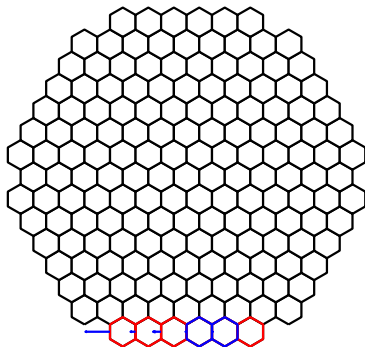
- 1D úloha pro \mathcal{V}_2

$$\begin{array}{l} \text{in} \\ \text{---} \rightarrow \end{array} k_{\text{eff}}, \bar{\Phi}_2, \bar{L}_{1,2,3}^{\text{txy}},$$

výsledky z \mathcal{V}_1

$$\begin{array}{l} \text{out} \\ \text{---} \rightarrow \end{array} \bar{J}_{1|2}$$

- $\bar{J}_{2|3}$, $\bar{J}_{3|4}$, $\bar{J}_{4|5}$



Xue Dong Fu and Nam Zin Cho

Nonlinear Analytic and Semi-Analytic Nodal Methods for Multigroup Neutron Diffusion Calculations.

J. Nucl. Sci. Technol. (Tokyo, Jpn.), 39(10):1015–1025, October 2002.

Výpočet opravných faktorů

- 1D úloha pro \mathcal{V}_1

$$\begin{array}{l} \text{in} \\ \text{---} \rightarrow \end{array} k_{\text{eff}}, \bar{\Phi}_1, \bar{L}_{0,1,2}^{\text{txy}}, \gamma_{\text{rad}}$$

$$\begin{array}{l} \text{out} \\ \text{---} \rightarrow \end{array} \bar{J}_{0|1}$$

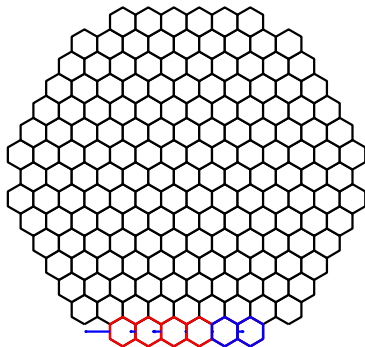
- 1D úloha pro \mathcal{V}_2

$$\begin{array}{l} \text{in} \\ \text{---} \rightarrow \end{array} k_{\text{eff}}, \bar{\Phi}_2, \bar{L}_{1,2,3}^{\text{txy}},$$

výsledky z \mathcal{V}_1

$$\begin{array}{l} \text{out} \\ \text{---} \rightarrow \end{array} \bar{J}_{1|2}$$

- $\bar{J}_{2|3}$, $\bar{J}_{3|4}$, $\bar{J}_{4|5}$, $\bar{J}_{5|6}$



Xue Dong Fu and Nam Zin Cho

Nonlinear Analytic and Semi-Analytic Nodal Methods for Multigroup Neutron Diffusion Calculations.

J. Nucl. Sci. Technol. (Tokyo, Jpn.), 39(10):1015–1025, October 2002.

Výpočet opravných faktorů

- 1D úloha pro \mathcal{V}_1

$$\begin{array}{l} \text{in} \\ \text{---} \rightarrow \end{array} k_{\text{eff}}, \bar{\Phi}_1, \bar{L}_{0,1,2}^{\text{txy}}, \gamma_{\text{rad}}$$

$$\begin{array}{l} \text{out} \\ \text{---} \rightarrow \end{array} \bar{J}_{0|1}$$

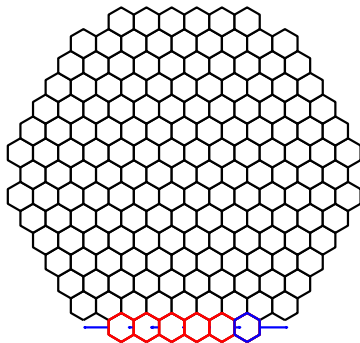
- 1D úloha pro \mathcal{V}_2

$$\begin{array}{l} \text{in} \\ \text{---} \rightarrow \end{array} k_{\text{eff}}, \bar{\Phi}_2, \bar{L}_{1,2,3}^{\text{txy}},$$

výsledky z \mathcal{V}_1

$$\begin{array}{l} \text{out} \\ \text{---} \rightarrow \end{array} \bar{J}_{1|2}$$

- $\bar{J}_{2|3}$, $\bar{J}_{3|4}$, $\bar{J}_{4|5}$, $\bar{J}_{5|6}$, $\bar{J}_{6|7}$



Xue Dong Fu and Nam Zin Cho

Nonlinear Analytic and Semi-Analytic Nodal Methods for Multigroup Neutron Diffusion Calculations.

J. Nucl. Sci. Technol. (Tokyo, Jpn.), 39(10):1015–1025, October 2002.

Výpočet opravných faktorů

- 1D úloha pro \mathcal{V}_1

$$\begin{array}{l} \text{in} \\ \text{---} \rightarrow \end{array} k_{\text{eff}}, \bar{\Phi}_1, \bar{L}_{0,1,2}^{\text{txy}}, \gamma_{\text{rad}}$$

$$\begin{array}{l} \text{out} \\ \text{---} \rightarrow \end{array} \bar{J}_{0|1}$$

- 1D úloha pro \mathcal{V}_2

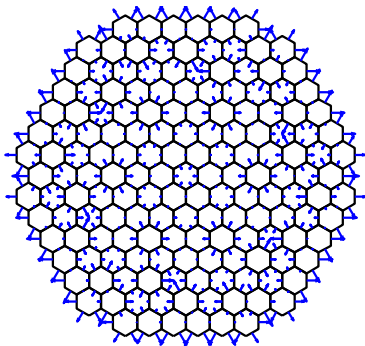
$$\begin{array}{l} \text{in} \\ \text{---} \rightarrow \end{array} k_{\text{eff}}, \bar{\Phi}_2, \bar{L}_{1,2,3}^{\text{txy}},$$

výsledky z \mathcal{V}_1

$$\begin{array}{l} \text{out} \\ \text{---} \rightarrow \end{array} \bar{J}_{1|2}$$

- $\bar{J}_{2|3}, \bar{J}_{3|4}, \bar{J}_{4|5}, \bar{J}_{5|6}, \bar{J}_{6|7}, \dots$

- $\bar{J}_{L|R}$



Xue Dong Fu and Nam Zin Cho

Nonlinear Analytic and Semi-Analytic Nodal Methods for Multigroup Neutron Diffusion Calculations.

J. Nucl. Sci. Technol. (Tokyo, Jpn.), 39(10):1015–1025, October 2002.

Výpočet opravných faktorů

- 1D úloha pro \mathcal{V}_1

$$\begin{array}{l} \text{in} \\ \text{---} \rightarrow \end{array} k_{\text{eff}}, \bar{\Phi}_1, \bar{L}_{0,1,2}^{\text{txy}}, \gamma_{\text{rad}}$$

$$\begin{array}{l} \text{out} \\ \text{---} \rightarrow \end{array} \bar{J}_{0|1}$$

- 1D úloha pro \mathcal{V}_2

$$\begin{array}{l} \text{in} \\ \text{---} \rightarrow \end{array} k_{\text{eff}}, \bar{\Phi}_2, \bar{L}_{1,2,3}^{\text{txy}},$$

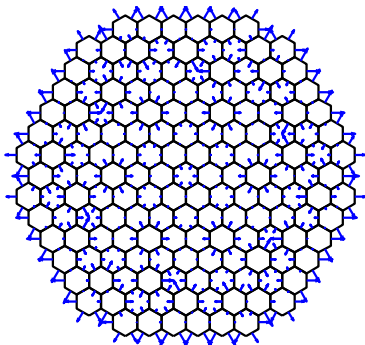
výsledky z \mathcal{V}_1

$$\begin{array}{l} \text{out} \\ \text{---} \rightarrow \end{array} \bar{J}_{1|2}$$

- $\bar{J}_{2|3}, \bar{J}_{3|4}, \bar{J}_{4|5}, \bar{J}_{5|6}, \bar{J}_{6|7}, \dots$

- $\bar{J}_{L|R}$

- analogicky v dalších řezech



Xue Dong Fu and Nam Zin Cho

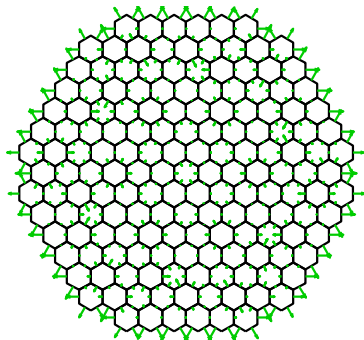
Nonlinear Analytic and Semi-Analytic Nodal Methods for Multigroup Neutron Diffusion Calculations.

J. Nucl. Sci. Technol. (Tokyo, Jpn.), 39(10):1015–1025, October 2002.

Korekce CMFD aproximace

Hrubá (CMFD) aproximace $\bar{\bar{J}}_{L|R}$

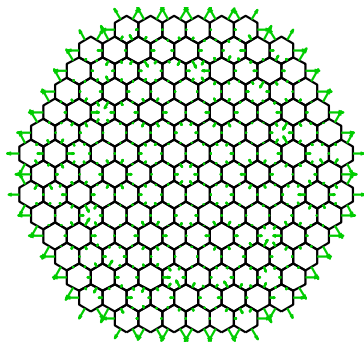
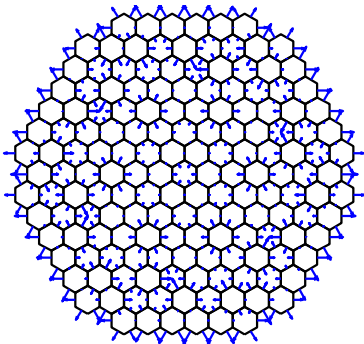
$$\bar{\bar{J}}_{L|R} = -\frac{2D_L D_R}{h(D_L + D_R)} \left(\bar{\bar{\Phi}}_R - \bar{\bar{\Phi}}_L \right) + {}^C D_{L|R} \left(\bar{\bar{\Phi}}_L + \bar{\bar{\Phi}}_R \right)$$



Korekce CMFD aproximace

Hrubá (CMFD) aproximace $\bar{\bar{J}}_{L|R}$ je srovnána s přesnějším $\bar{J}_{L|R}$

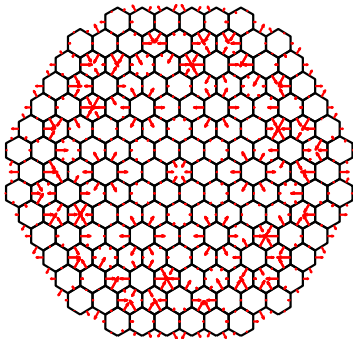
$$\bar{J}_{L|R} \equiv \bar{\bar{J}}_{L|R} = -\frac{2D_L D_R}{h(D_L + D_R)} (\bar{\bar{\Phi}}_R - \bar{\bar{\Phi}}_L) + {}^C D_{L|R} (\bar{\bar{\Phi}}_L + \bar{\bar{\Phi}}_R)$$



Korekce CMFD aproximace

Hrubá (CMFD) aproximace $\bar{J}_{L|R}$ je srovnána s přesnějším $\bar{J}_{L|R}$ prostřednictvím **opravných faktorů**

$$\bar{J}_{L|R} \equiv \bar{J}_{L|R} = -\frac{2D_L D_R}{h(D_L + D_R)} \left(\bar{\Phi}_R - \bar{\Phi}_L \right) + {}^C D_{L|R} \left(\bar{\Phi}_L + \bar{\Phi}_R \right)$$



Korekce CMFD aproximace

Hrubá (CMFD) aproximace $\bar{J}_{L|R}$ je srovnána s přesnějším $\bar{J}_{L|R}$ prostřednictvím **opravných faktorů**

$$\bar{J}_{L|R} \equiv \bar{J}_{L|R} = -\frac{2D_L D_R}{h(D_L + D_R)} \left(\bar{\Phi}_R - \bar{\Phi}_L \right) + {}^c D_{L|R} \left(\bar{\Phi}_L + \bar{\Phi}_R \right)$$

$${}^c D_{L|R} = \frac{1}{\bar{\Phi}_L + \bar{\Phi}_R} \left[\bar{J}_{L|R} + \frac{2D_L D_R}{h(D_L + D_R)} \left(\bar{\Phi}_R - \bar{\Phi}_L \right) \right]$$

Korekce CMFD aproximace

Hrubá (CMFD) aproximace $\bar{J}_{L|R}$ je srovnána s přesnějším $\bar{\bar{J}}_{L|R}$ prostřednictvím **opravných faktorů**

$$\bar{J}_{L|R} \equiv \bar{\bar{J}}_{L|R} = -\frac{2D_L D_R}{h(D_L + D_R)} (\bar{\bar{\Phi}}_R - \bar{\bar{\Phi}}_L) + {}^C D_{L|R} (\bar{\bar{\Phi}}_L + \bar{\bar{\Phi}}_R)$$

$${}^C D_{L|R} = \frac{1}{\bar{\bar{\Phi}}_L + \bar{\bar{\Phi}}_R} \left[\bar{J}_{L|R} + \frac{2D_L D_R}{h(D_L + D_R)} (\bar{\bar{\Phi}}_R - \bar{\bar{\Phi}}_L) \right]$$

CMFD soustava: $(\mathbf{M} + {}^C \mathbf{D}) \bar{\bar{\Phi}} = k_{\text{eff}}^{-1} \mathbf{F} \bar{\bar{\Phi}}$

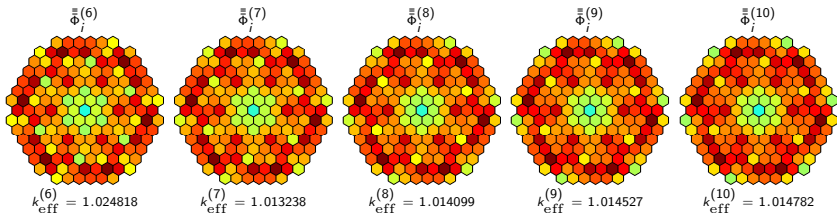
Korekce CMFD aproximace

Hrubá (CMFD) aproximace $\bar{J}_{L|R}$ je srovnána s přesnějším $\bar{J}_{L|R}$ prostřednictvím **opravných faktorů**

$$\bar{J}_{L|R} \equiv \bar{J}_{L|R} = -\frac{2D_L D_R}{h(D_L + D_R)} \left(\bar{\Phi}_R - \bar{\Phi}_L \right) + {}^C D_{L|R} \left(\bar{\Phi}_L + \bar{\Phi}_R \right)$$

$${}^C D_{L|R} = \frac{1}{\bar{\Phi}_L + \bar{\Phi}_R} \left[\bar{J}_{L|R} + \frac{2D_L D_R}{h(D_L + D_R)} \left(\bar{\Phi}_R - \bar{\Phi}_L \right) \right]$$

CMFD soustava: $(\mathbf{M} + {}^C \mathbf{D}) \bar{\Phi} = k_{\text{eff}}^{-1} \mathbf{F} \bar{\Phi}$

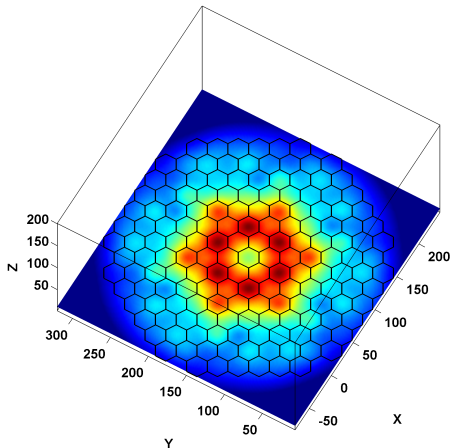


Přehled

- Motivace
- Matematický model
- Numerický model
- Algoritmus
- **Výsledky a srovnání**
- Závěr

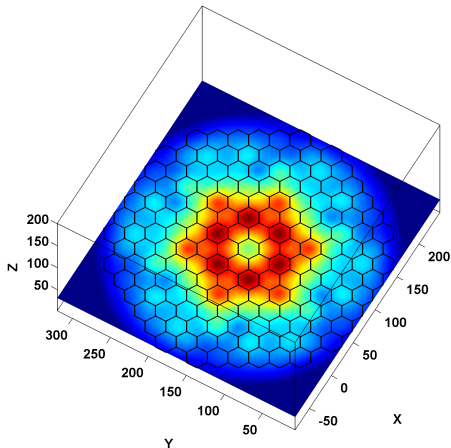
Rozložení průměrných nodálních výkonů

$$\bar{P}_i := \frac{\nu \Sigma_{i,f}^1 \bar{\Phi}_i^1 + \nu \Sigma_{i,f}^2 \bar{\Phi}_i^2}{\frac{1}{V_i} \sum (\nu \Sigma_{i,f}^1 \bar{\Phi}_i^1 + \nu \Sigma_{i,f}^2 \bar{\Phi}_i^2)}$$



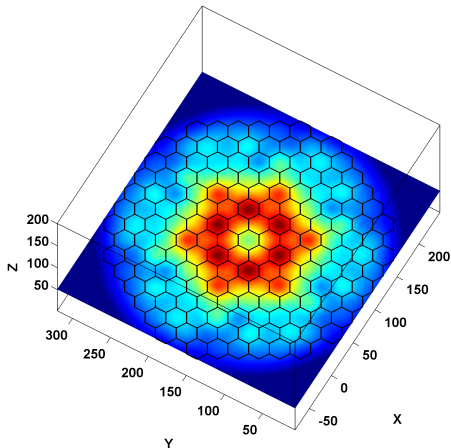
Rozložení průměrných nodálních výkonů

$$\bar{P}_i := \frac{\nu \Sigma_{i,f}^1 \bar{\Phi}_i^1 + \nu \Sigma_{i,f}^2 \bar{\Phi}_i^2}{\frac{1}{V_i} \sum (\nu \Sigma_{i,f}^1 \bar{\Phi}_i^1 + \nu \Sigma_{i,f}^2 \bar{\Phi}_i^2)}$$



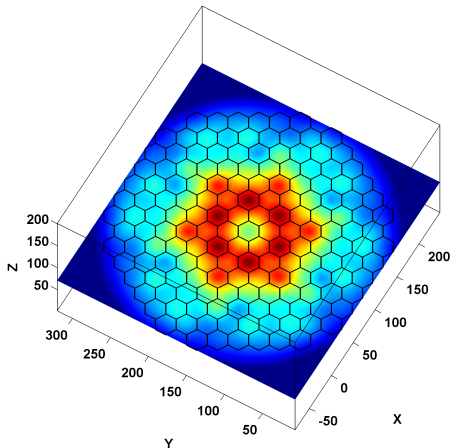
Rozložení průměrných nodálních výkonů

$$\bar{P}_i := \frac{\nu \Sigma_{i,f}^1 \bar{\Phi}_i^1 + \nu \Sigma_{i,f}^2 \bar{\Phi}_i^2}{\frac{1}{V_i} \sum_{V_i} (\nu \Sigma_{i,f}^1 \bar{\Phi}_i^1 + \nu \Sigma_{i,f}^2 \bar{\Phi}_i^2)}$$



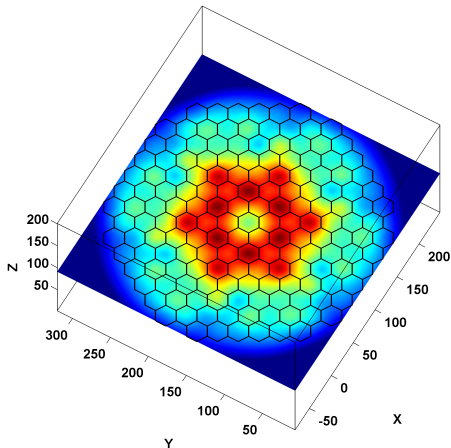
Rozložení průměrných nodálních výkonů

$$\bar{P}_i := \frac{\nu \Sigma_{i,f}^1 \bar{\Phi}_i^1 + \nu \Sigma_{i,f}^2 \bar{\Phi}_i^2}{\frac{1}{V_i} \sum (\nu \Sigma_{i,f}^1 \bar{\Phi}_i^1 + \nu \Sigma_{i,f}^2 \bar{\Phi}_i^2)}$$



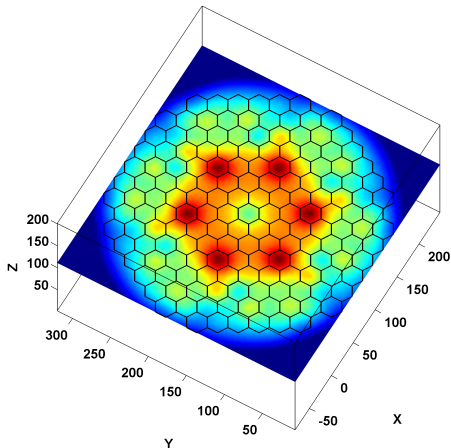
Rozložení průměrných nodálních výkonů

$$\bar{P}_i := \frac{\nu \Sigma_{i,f}^1 \bar{\Phi}_i^1 + \nu \Sigma_{i,f}^2 \bar{\Phi}_i^2}{\frac{1}{V_i} \sum_{V_i} (\nu \Sigma_{i,f}^1 \bar{\Phi}_i^1 + \nu \Sigma_{i,f}^2 \bar{\Phi}_i^2)}$$



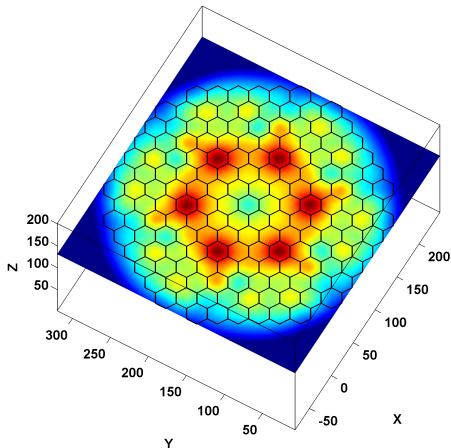
Rozložení průměrných nodálních výkonů

$$\bar{P}_i := \frac{\nu \Sigma_{i,f}^1 \bar{\Phi}_i^1 + \nu \Sigma_{i,f}^2 \bar{\Phi}_i^2}{\frac{1}{V_i} \sum (\nu \Sigma_{i,f}^1 \bar{\Phi}_i^1 + \nu \Sigma_{i,f}^2 \bar{\Phi}_i^2)}$$



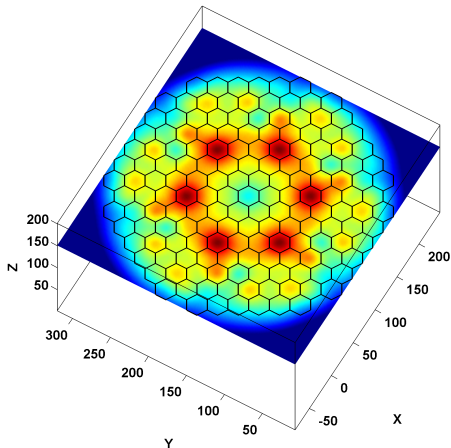
Rozložení průměrných nodálních výkonů

$$\bar{P}_i := \frac{\nu \Sigma_{i,f}^1 \bar{\Phi}_i^1 + \nu \Sigma_{i,f}^2 \bar{\Phi}_i^2}{\frac{1}{N} \sum_{\mathcal{V}_i} (\nu \Sigma_{i,f}^1 \bar{\Phi}_i^1 + \nu \Sigma_{i,f}^2 \bar{\Phi}_i^2)}$$



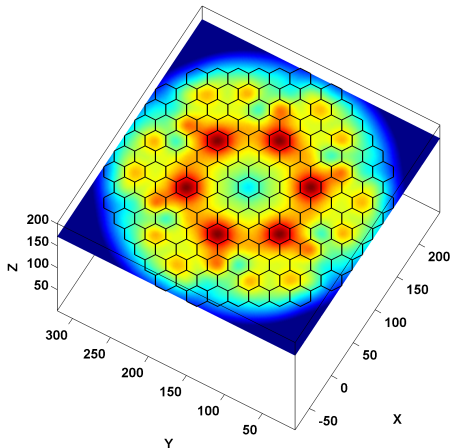
Rozložení průměrných nodálních výkonů

$$\bar{P}_i := \frac{\nu \Sigma_{i,f}^1 \bar{\Phi}_i^1 + \nu \Sigma_{i,f}^2 \bar{\Phi}_i^2}{\frac{1}{N} \sum_{\mathcal{V}_i} (\nu \Sigma_{i,f}^1 \bar{\Phi}_i^1 + \nu \Sigma_{i,f}^2 \bar{\Phi}_i^2)}$$



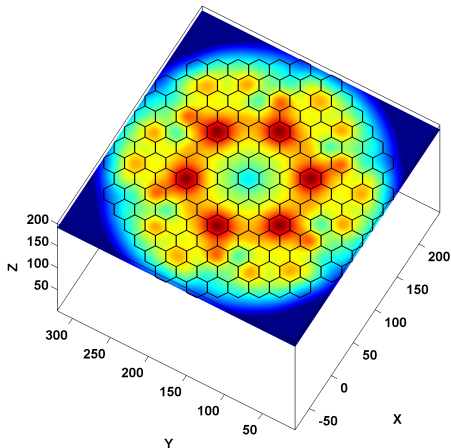
Rozložení průměrných nodálních výkonů

$$\bar{P}_i := \frac{\nu \Sigma_{i,f}^1 \bar{\Phi}_i^1 + \nu \Sigma_{i,f}^2 \bar{\Phi}_i^2}{\frac{1}{N} \sum_{\mathcal{V}_i} (\nu \Sigma_{i,f}^1 \bar{\Phi}_i^1 + \nu \Sigma_{i,f}^2 \bar{\Phi}_i^2)}$$



Rozložení průměrných nodálních výkonů

$$\bar{P}_i := \frac{\nu \Sigma_{i,f}^1 \bar{\Phi}_i^1 + \nu \Sigma_{i,f}^2 \bar{\Phi}_i^2}{\frac{1}{N} \sum_{\mathcal{V}_i} (\nu \Sigma_{i,f}^1 \bar{\Phi}_i^1 + \nu \Sigma_{i,f}^2 \bar{\Phi}_i^2)}$$



Popis implementace

- Programováno v MATLABu, verze 2007b
- Žádná speciální optimalizace výkonu, pouze použití metod pro řídké matice a automatické podpory vícejádrových počítačů poskytované MATLABem
- Počítač: Intel Core 2 Duo 6600 @ 2.40GHz, 2 GB RAM, Win XP SP2

Popis implementace

- Programováno v MATLABu, verze 2007b
- Žádná speciální optimalizace výkonu, pouze použití metod pro řídké matice a automatické podpory vícejádrových počítačů poskytované MATLABem
- Počítač: Intel Core 2 Duo 6600 @ 2.40GHz, 2 GB RAM, Win XP SP2
- ① Referenční řešení: FMFD (Fine-Mesh, Finite-Difference)
 - 864 \triangle/\square
 - 80 iterací mocninné metody
 - 25 iterací metody sdružených gradientů
 - předpodmínění neúplnou Choleského faktorizací

Popis implementace

- Programováno v MATLABu, verze 2007b
- Žádná speciální optimalizace výkonu, pouze použití metod pro řídké matice a automatické podpory vícejádrových počítačů poskytované MATLABem
- Počítač: Intel Core 2 Duo 6600 @ 2.40GHz, 2 GB RAM, Win XP SP2
- ① Referenční řešení: FMFD (Fine-Mesh, Finite-Difference)
 - 864 \triangle/\square
 - 80 iterací mocninné metody
 - 25 iterací metody sdružených gradientů
 - předpodmínění neúplnou Choleského faktorizací
- ② Nodální metoda: CMFD (Coarse-Mesh, Finite-Difference)
 - 20 iterací mocninné metody
 - Řešení CMFD soustavy přímou metodou
 - Nodální výpočet pro zpřesnění
 - Využití symetrie AZ (výpočet pouze v 1/6 reaktoru)

Popis implementace

- Programováno v MATLABu, verze 2007b
- Žádná speciální optimalizace výkonu, pouze použití metod pro řídké matice a automatické podpory vícejádrových počítačů poskytované MATLABem
- Počítač: Intel Core 2 Duo 6600 @ 2.40GHz, 2 GB RAM, Win XP SP2
- ① Referenční řešení: FMFD (Fine-Mesh, Finite-Difference)
 - 864 \triangle/\square
 - 80 iterací mocninné metody
 - 25 iterací metody sdružených gradientů
 - předpodmínění neúplnou Choleského faktorizací
- ② Nodální metoda: CMFD (Coarse-Mesh, Finite-Difference)
 - 20 iterací mocninné metody
 - Řešení CMFD soustavy přímou metodou
 - Nodální výpočet pro zpřesnění
 - Využití symetrie AZ (výpočet pouze v 1/6 reaktoru)

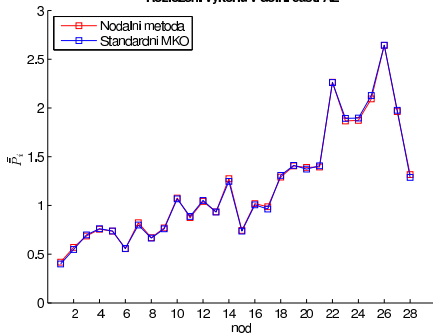
20x



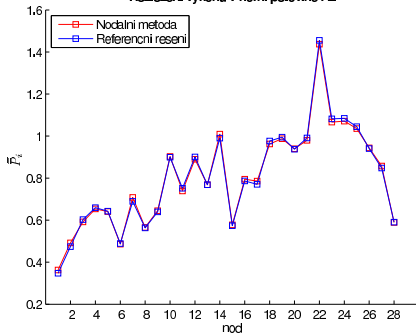
Porovnání výsledků

	$\max_{V_i} \Delta \bar{P}_i$	Δk_{eff}	čas [s]	špičkové využití paměti [MB]
FMFD	0.00%	0.00%	2752	1344.77
CMFD	4.36%	0.012%	87	27.58

Rozložení výkonu v dolní části AZ



Rozložení výkonu v horní polovině AZ



Přehled

- Motivace
- Matematický model
- Numerický model
- Algoritmus
- Výsledky a srovnání
- **Závěr**

Shrnutí

- Analýza jaderných reaktorů založena na znalosti rozložení **neutronového toku**

Shrnutí

- Analýza jaderných reaktorů založena na znalosti rozložení neutronového toku
- **Dvougrupový difúzní model** je dobrým kompromisem mezi použitelností a efektivitou výpočtu

Shrnutí

- Analýza jaderných reaktorů založena na znalosti rozložení neutronového toku
- Dvougupový difúzní model je dobrým kompromisem mezi použitelností a efektivitou výpočtu
- **Hrubosíťové konečně-diferenční aproximace** na úrovni celé AZ

Shrnutí

- Analýza jaderných reaktorů založena na znalosti rozložení neutronového toku
- Dvougupový difúzní model je dobrým kompromisem mezi použitelností a efektivitou výpočtu
- Hrubosíťové konečně-diferenční aproximace na úrovni celé AZ + zpřesňující **nodální výpočty** na dvojicích kazet (semi-analyticky)

Shrnutí

- Analýza jaderných reaktorů založena na znalosti rozložení neutronového toku
- Dvougupový difúzní model je dobrým kompromisem mezi použitelností a efektivitou výpočtu
- Hrubosíťové konečně-diferenční aproximace na úrovni celé AZ + zpřesňující nodální výpočty na dvojicích kazet (semi-analyticky) = **dostatečně přesné a rychlé řešení**

Shrnutí

- Analýza jaderných reaktorů založena na znalosti rozložení neutronového toku
- Dvougupový difúzní model je dobrým kompromisem mezi použitelností a efektivitou výpočtu
- Hrubosíťové konečně-diferenční aproximace na úrovni celé AZ + zpřesňující nodální výpočty na dvojicích kazet (semi-analyticky) = dostatečně přesné a rychlé řešení
- Nodální úlohy získány **metodou příčné integrace**

Shrnutí

- Analýza jaderných reaktorů založena na znalosti rozložení neutronového toku
- Dvougupový difúzní model je dobrým kompromisem mezi použitelností a efektivitou výpočtu
- Hrubosíťové konečně-diferenční aproximace na úrovni celé AZ + zpřesňující nodální výpočty na dvojicích kazet (semi-analyticky) = dostatečně přesné a rychlé řešení
- Nodální úlohy získány metodou příčné integrace \Rightarrow **příčné únikové členy**

Shrnutí

- Analýza jaderných reaktorů založena na znalosti rozložení neutronového toku
- Dvougupový difúzní model je dobrým kompromisem mezi použitelností a efektivitou výpočtu
- Hrubosíťové konečně-diferenční aproximace na úrovni celé AZ + zpřesňující nodální výpočty na dvojicích kazet (semi-analyticky) = dostatečně přesné a rychlé řešení
- Nodální úlohy získány metodou příčné integrace \Rightarrow příčné únikové členy \Rightarrow komplikace na šestiúhelníkových oblastech

Shrnutí

- Analýza jaderných reaktorů založena na znalosti rozložení neutronového toku
- Dvougupový difúzní model je dobrým kompromisem mezi použitelností a efektivitou výpočtu
- Hrubosíťové konečně-diferenční aproximace na úrovni celé AZ + zpřesňující nodální výpočty na dvojicích kazet (semi-analyticky) = dostatečně přesné a rychlé řešení
- Nodální úlohy získány metodou příčné integrace \Rightarrow příčné únikové členy \Rightarrow komplikace na šestiúhelníkových oblastech
- Problém lze vyřešit při zachování konzistence původní 3D a nodálních 1D úloh

Vybrané zdroje



Y. A. Chao and Y. A. Shatilla

Conformal Mapping and Hexagonal Nodal Methods – II: Implementation in the ANC-H Code

Nucl. Sci. Eng., 121:210–225, October 1995.



Xue Dong Fu and Nam Zin Cho

Nonlinear Analytic and Semi-Analytic Nodal Methods for Multigroup Neutron Diffusion Calculations.

J. Nucl. Sci. Technol. (Tokyo, Jpn.), 39(10):1015–1025, October 2002.



M. R. Wagner

Three-Dimensional Nodal Diffusion and Transport Theory Methods for Hexagonal-z Geometry.

Nucl. Sci. Eng., 103:377–391, May 1989.

Vybrané zdroje



Y. A. Chao and Y. A. Shatilla

Conformal Mapping and Hexagonal Nodal Methods – II: Implementation in the ANC-H Code

Nucl. Sci. Eng., 121:210–225, October 1995.



Xue Dong Fu and Nam Zin Cho

Nonlinear Analytic and Semi-Analytic Nodal Methods for Multigroup Neutron Diffusion Calculations.

J. Nucl. Sci. Technol. (Tokyo, Jpn.), 39(10):1015–1025, October 2002.



M. R. Wagner

Three-Dimensional Nodal Diffusion and Transport Theory Methods for Hexagonal-z Geometry.

Nucl. Sci. Eng., 103:377–391, May 1989.

— Děkuji za pozornost —

Výzkum byl podporován projektem 1M0545 a výzkumným záměrem MSM 4977751301